

ФИЗИЧЕСКАЯ ХИМИЯ НАНОКЛАСТЕРОВ
И НАНОМАТЕРИАЛОВ

УДК 544.774.2

ОСОБЕННОСТИ КИНЕТИКИ АДсорБЦИИ МАКРОКОМПОНЕНТОВ
ВОЗДУХА НА НАНОКОМПЗИТАХ НА ОСНОВЕ АЛЬГИНАТА КАЛЬЦИЯ
И УГЛЕРОДНЫХ НАНОТРУБОК

© 2021 г. А. О. Дудолоадов^а, М. Б. Алехина^{а,*}, П. Ю. Цыганков^а

^аРоссийский химико-технологический университет им. Д.И. Менделеева, 125047, Москва, Россия

*e-mail: mbalekhina@yandex.ru

Поступила в редакцию 20.07.2020 г.

После доработки 03.11.2020 г.

Принята к публикации 10.11.2020 г.

Исследованы кинетические характеристики сорбции макрокомпонентов воздуха на наноконпози-тах на основе альгината кальция и углеродных нанотрубок с использованием модели внутридиффу-зионной кинетики и моделей псевдопервого и псевдвторого порядков. Установлено определяю-щее влияние внутридиффузионного переноса на адсорбцию аргона на наноконпозиатах. Показано, что скорость адсорбции азота на наноконпозиатах описывается моделью кинетики псевдо-второго порядка; скорость адсорбции кислорода согласуется с моделью внутридиффузионной кинетики, однако при этом с ростом содержания углеродных нанотрубок в наноконпозиатах возрастает влия-ние сорбции молекул кислорода на активных центрах, соответствующей модели псевдвторого по-рядка. Полученные результаты свидетельствуют о значительной роли локализованной адсорбции и доступности активных центров при адсорбции на гетерополярных сорбентах молекул, обладающих квадрупольным моментом.

Ключевые слова: наноконпозиаты, альгинат кальция, углеродные нанотрубки, адсорбция, азот, кис-лород, аргон, кинетические характеристики

DOI: 10.31857/S0044453721060091

Специфичность взаимодействия молекул га-зов с адсорбентами связана с химией поверхности адсорбентов. Для повышения селективности ад-сорбентов в отношении какого-то компонента газовой смеси необходимо контролировать и на-правленно изменять химию поверхности адсор-бентов [1]. Адсорбционное разделение воздуха на цеолитах при комнатной температуре методом короткоцикловой безнагревной адсорбции (КБА) основано на различиях в адсорбируемости азота и кислорода [2–5]. Основные отличия в свойствах молекул макрокомпонентов воздуха заключаются в величинах квадрупольного мо-мента у молекул азота и кислорода и его отсут-ствия у молекулы аргона [6]. Из-за близости ад-сорбционных свойств аргона и кислорода чрез-вычайно сложно разделить их смесь на существующих промышленных адсорбентах. Не-обходимо получить адсорбенты с энергетически однородной поверхностью, что способствовало бы преимущественной адсорбции аргона за счет дисперсионных сил, вследствие его большей мас-сы по сравнению с кислородом. Для этого актив-ные центры сорбции кислорода (катионы метал-

лов, гидроксильные группы и др.) нужно удалить с поверхности адсорбента или их экранировать.

Ионные адсорбенты поляризуют любые молеку-лы (индукционное электростатическое взаимодей-ствие) и специфически взаимодействуют с поляр-ными молекулами (ориентационное электростати-ческое взаимодействие). Связь с адсорбентом может оставаться физической, но быть достаточно сильной для того, чтобы воспрепятствовать переме-щению молекулы вдоль поверхности. В этом случае наблюдается локализованная адсорбция в отличие от нелокализованной [1, 7], когда молекулы могут свободно перемещаться вдоль поверхности адсор-бента. К этому типу, помимо цеолитов, относятся адсорбенты, поверхность которых содержит про-тонные и апротонные кислотные центры.

В работе [8] исследованы наноконпозиаты на основе альгината кальция с многослойными угле-родными нанотрубками (МУНТ) для разделения газовой смеси аргон–кислород. Модифицирова-ние альгината кальция привело к экранированию центров сорбционной активности O₂ и снизило электростатический потенциал взаимодействия кислорода с адсорбционной поверхностью. Спе-цифические взаимодействия имеют место только

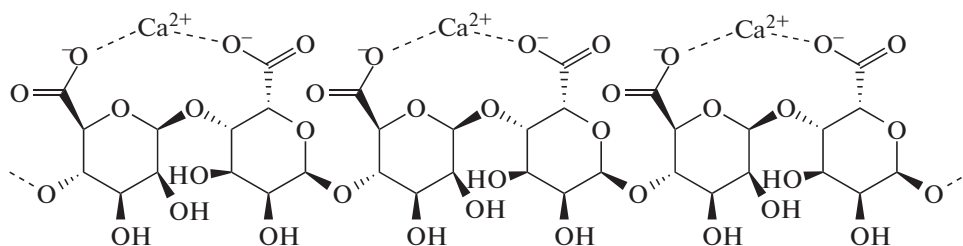


Рис. 1. Структурная формула альгината кальция.

на свободных, не возмущенных взаимодействием с окружением и неэкранированных гидроксильных группах [9]. В результате модифицированный адсорбент на основе альгината кальция с содержанием 30 мас. % МУНТ обладал повышенной селективностью к аргону при его адсорбции из смеси с кислородом.

Альгинат натрия, природная водорастворимая соль альгиновой кислоты, представляет собой линейный полисахарид, который извлекают из бурых водорослей. Способность образовывать гидрогели является одним из основных свойств альгината натрия, которое обусловлено замещением ионов натрия из остатков гулурановой кислоты различными двухвалентными катионами (Ca^{2+} , Sr^{2+} , Ba^{2+} и др.). Трехмерная сеть образуется в результате связывания двухвалентного катиона с α -1-гулурановым блоком между двумя различными цепями (рис. 1) [10–12].

На поверхности альгинатного геля имеются положительные ионы Ca^{2+} , способные взаимодействовать с молекулами азота и кислорода за счет ион-квадрупольных взаимодействий (в отличие от ковалентной связи, ионная связь является ненасыщенной, так как взаимодействие ионов противоположного знака не приводит к полной взаимной компенсации их силовых полей [1]). Поверхность альгинатной матрицы содержит протонизированный атом водорода в группах ОН кислотного типа, т.е. обладает положительным зарядом.

Описание кинетических кривых адсорбции при помощи моделей диффузионной и химической кинетики позволяет определить лимитирующую стадию и охарактеризовать механизм сорбции [13–21]. Следует отметить, что данное направление в настоящее время недостаточно изучено, оно требует рассмотрения механизма сорбции с учетом природы взаимодействий в системе адсорбат–адсорбент с определением констант, характеризующих средство адсорбентов к целевым компонентам.

Целью данной работы являлось определение кинетических характеристик адсорбции азота, кислорода и аргона на нанокompозитах на основе альгината кальция, модифицированных МУНТ.

Для описания кинетики сорбции указанных газов использовали модель внутридиффузионной кинетики физической адсорбции [14], модели псевдопервого порядка Лагергрена и псевдovторого порядка Хо и Маккей [18, 19].

ЭКСПЕРИМЕНТАЛЬНАЯ ЧАСТЬ

Нанокompозиты на основе альгината кальция были получены в международном учебно-научном центре трансфера фармацевтических и биотехнологий (МУНЦ фармацевтических и биотехнологий) при РХТУ им. Д.И. Менделеева. Образцы представляли собой сферические частицы, диаметром ~2 мм. Нанокompозиты были приготовлены по золь-гель-технологии с последующей сушкой в среде сверхкритического диоксида углерода (14.5 МПа, 40°C). Углеродные нанотрубки выступали в качестве модификатора, затрудняющего доступ молекулам адсорбтива к активным центрам сорбции. Содержание МУНТ в образцах варьировали от 0 до 30 мас. %. Подробное описание методик получения нанокompозитов, а также их текстурные характеристики приведены в [8, 22, 23].

Дифференциальные кривые распределения объемов пор по радиусам для нанокompозитов, рассчитанные по методу ВЖ, показали, что образцы обладали мезопористой структурой с радиусом пор от 4 до 60 нм в образце без МУНТ. При увеличении массовой доли МУНТ в нанокompозите наблюдали уменьшение объема пор с радиусами 20–40 нм, что соответствует размеру углеродной нанотрубки.

В качестве адсорбатов использовали азот, кислород и аргон из баллонов. В качестве калибровочного газа применяли гелий. Чистота газов: гелий марки А – 99.995 об. % He; азот марки “ос.ч.” – 99.999 об. % N_2 , кислород марки “ос.ч.” – 99.999 об. % O_2 ; аргон марки “высший сорт” – 99.993 об. % Ar.

Кинетические кривые адсорбции азота, кислорода и аргона были измерены с помощью волюмометрической установки (рис. 2) при 25°C и атмосферном давлении. Измерительная система состоит из ампулы с образцом 1, помещенной в термостат 6, нитрометра 2, вакуумметра 5 и кранов 3, 4, 7, 8.

Адсорбент с известной массой (после предварительного прогрева при 50°C в токе азота) помещали в ампулу 1, которая отделена от измерительной системы краном 3. Перед началом измерений проводили дегазацию адсорбента путем вакуумной откачки при 25°C.

Далее проводили калибровку свободного объема системы по гелию, т.е. определение объема гелия, перешедшего в пространство, расположенное слева от крана 3. После дегазации гелия, осуществляли подачу рабочего газа в ампулу и определяли объем рабочего газа. Разность соответствовала величине адсорбции рабочего газа, которую фиксировали во времени.

ОБСУЖДЕНИЕ РЕЗУЛЬТАТОВ

Кинетические зависимости сорбции азота, кислорода и аргона на образцах альгинатов кальция без МУНТ и с различным содержанием модификатора обладали характерной выпуклостью в начальной области и выходили на плато в области больших времен. Время установления равновесия для азота составляло 20 мин на всех образцах нанокompозитов. Значения равновесных емкостей, $a_{e \text{ эксп}}$ по азоту для образцов, содержащих 0, 10 и 30 мас. % МУНТ составило, соответственно 6.6, 6.5 и 4.5 см³/г (табл. 1).

Время установления равновесия для адсорбции кислорода и аргона составило от 150 до 180 мин на всех образцах нанокompозитов.

При адсорбции аргона внедрение МУНТ в альгинатную матрицу слабо сказалось на скорости сорбции: она незначительно снижалась сим-

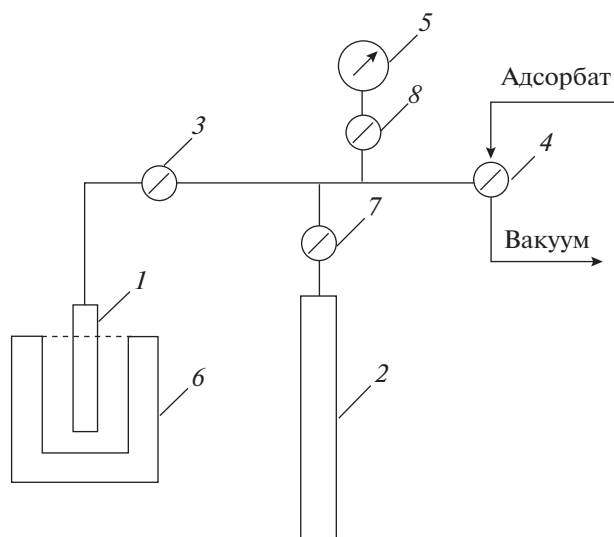


Рис. 2. Принципиальная схема волюмометрической установки: 1 – ампула с адсорбентом, 2 – калиброванный объем (нитрометр), 3, 4, 7, 8 – краны, 5 – вакуумметр, 6 – термостат.

батно увеличению содержания МУНТ. Значения равновесных емкостей по аргону для образцов, содержащих 0, 10 и 30 мас. % МУНТ составило соответственно 20.9, 20.4 и 18.5 см³/г (табл. 1).

Видно, что модифицирование альгинатной матрицы 10 мас. % МУНТ привело сначала к увеличению скорости адсорбции O₂ (и равновесной емкости), а затем к ее снижению на образце Alg-Ca + 30 мас. % МУНТ. Значения $a_{e \text{ эксп}}$ составили, соответственно 19.9, 25.4 и 9.3 см³/г (табл. 1).

Таблица 1. Кинетические характеристики адсорбции азота, кислорода и аргона на нанокompозитах

Содержание МУНТ в нанокompозите, мас. %	$a_{e \text{ эксп}}$, см ³ /г	Модель псевдопервого порядка			Модель псевдовторого порядка				Модель внутридиффузионной кинетики	
		$a_{e \text{ расч}}$, см ³ /г	k_1 , мин ⁻¹	R^2	$a_{e \text{ расч}}$, см ³ /г	h , см ³ /г (мин)	k_2 , г/(см ³ мин)	R^2	D_e , см ² /с	R^2
Азот										
0	6.6	4.0	0.082	0.908	7.0	3.33	0.068	0.997	5.2×10^{-6}	0.809
10	6.5	5.8	0.098	0.951	6.5	8.14	0.193	0.999	8.1×10^{-6}	0.629
30	4.5	2.7	0.083	0.879	4.7	2.55	0.116	0.996	8.1×10^{-6}	0.818
Кислород										
0	19.9	19.8	0.013	0.919	22.0	0.50	0.001	0.873	7.3×10^{-7}	0.993
10	25.4	24.3	0.016	0.888	25.8	1.16	0.002	0.928	1.0×10^{-7}	0.992
30	9.3	7.3	0.016	0.961	9.8	1.15	0.012	0.986	3.4×10^{-7}	0.957
Аргон										
0	20.9	19.8	0.013	0.919	20.4	1.44	0.003	0.957	1.7×10^{-7}	0.987
10	20.4	17.3	0.015	0.934	23.0	1.02	0.002	0.937	1.3×10^{-7}	0.990
30	18.5	17.4	0.018	0.923	18.1	0.90	0.003	0.947	1.3×10^{-7}	0.998

Как правило, тормозят адсорбционные процесс диффузионные стадии, поскольку скорость адсорбции на порядки больше скорости массопереноса. Однако, если имеет место сильное специфическое взаимодействие адсорбата с поверхностными активными центрами (ПАЦ), то скорость адсорбционного процесса может быть ограничена как стадией диффузии адсорбтива к ПАЦ, так и стадией собственно локализованной адсорбции на ПАЦ.

Полученные кинетические кривые были проанализированы при помощи моделей внутридиффузионной и химической кинетики.

Перед анализом была определена погрешность измерения текущей величины адсорбции по методике [24], на примере адсорбции азота на образце Alg-Ca + 30 мас. % МУНТ при 25°C. Как показали результаты, наибольшая погрешность определения текущей величины адсорбции 10–15% была в первые 7 мин от начала измерений, затем ошибка снизилась до 4–5% и после 8 мин сохранялась на этом уровне до конца эксперимента.

При феноменологическом описании внутридиффузионной кинетики физической адсорбции обычно применяется модель квазигомогенного пористого тела [14]. При диффузии в сферу применяется уравнение второго закона Фика. Кинетическая кривая выражается уравнением:

$$\gamma(t) = \frac{a_t}{a_e} = 1 - \frac{6}{\pi^2} \sum_{n=1}^{\infty} \exp(-n^2 \tau) / n^2, \quad (1)$$

где $\gamma(t)$ – относительная величина адсорбции, a_t – средняя по частице величина адсорбции в момент времени t , a_e – равновесная величина адсорбции. $\tau = \pi^2 D_e t / R^2$, $n = 1, 2, 3, \dots$ – ряд целых натуральных чисел; D_e – эффективный коэффициент диффузии, R – радиус гранулы.

Значения эффективного коэффициента диффузии, D_e азота, кислорода и аргона в зависимости от содержания МУНТ в нанокompозитах при 25°C, были рассчитаны по формуле [25]:

$$D_e = K \frac{R^2}{\pi^2 t_{0.5}}, \quad (2)$$

где R – радиус зерна сорбента; $t_{0.5}$ – время достижения $\gamma = 0.5$; K – коэффициент, зависящий от формы гранул, для сферического зерна $K = 0.308$.

В области малых γ величина $\gamma(t)$ пропорциональна $(D_e t)^{1/2}$. Причем на практике [25] эта зависимость в удовлетворительном приближении выполняется до $\gamma = 0.6–0.7$.

Кинетические кривые адсорбции азота на нанокompозитах в координатах $\gamma = f(t^{1/2})$ (рис. 3а) были выпуклыми, причем вид этих зависимостей качественно не изменялся с ростом содержания модификатора в альгинатной матрице. Это позволило предположить, что скорость адсорбции

азота определяет не только внутренняя диффузия, но и взаимодействие с доступными активными центрами поверхности. Значения эффективного коэффициента диффузии азота возросли в результате модифицирования.

Вид кинетических кривых адсорбции кислорода на нанокompозитах изменялся с ростом содержания МУНТ (рис. 3б). Линейные зависимости для образца без МУНТ и образца, содержащего 10 мас. % МУНТ сменились нелинейной зависимостью для нанокompозита с 30 мас. % МУНТ. Значения коэффициентов корреляции (табл. 1) были высоки, но величина R^2 несколько снизилась для нанокompозита с 30 мас. % МУНТ. Эти данные позволяют предполагать, что внедрение МУНТ в альгинатную матрицу привело к изменению механизма сорбции кислорода: на образце без МУНТ и с 10 мас. % МУНТ лимитировала внутренняя диффузия, при содержании в образце 30 мас. % МУНТ скорость адсорбции стала зависеть от другого фактора.

Адсорбция аргона на всех образцах в координатах $\gamma = f(t^{1/2})$ (рис. 3в) характеризуется линейной зависимостью, при этом коэффициенты R^2 при адсорбции аргона были достаточно высоки и наблюдался их рост с увеличением содержания МУНТ в образцах (табл. 1).

Как известно [26, 27], условия, гарантирующие применимость модели: 1) высокие значения R^2 , 2) прямая линия, проходящая через начало координат. Если есть отклонения от 1) и 2) условий, то это означает, что режим переноса зависит от более, чем одного процесса. На гетерогенных поверхностях влияния диффузионного массопереноса и химической реакции (если адсорбцию на активных центрах поверхности рассматривать как реакцию взаимодействия молекул газов с активными центрами) часто экспериментально неотделимы. Если предположить, что активные центры поверхности нанокompозитов обладают энергетической неоднородностью, то на разных активных центрах адсорбция азота и кислорода будет идти с различной скоростью.

Обработка кинетических данных по линеаризованным уравнениям моделей псевдопервого и псевдovторого порядка, позволила рассчитать константы скорости адсорбции азота, кислорода и аргона на полученных нанокompозитах (табл. 1).

Определение скорости процесса сорбции псевдопервого порядка производили по уравнению Лагергрена в логарифмической форме, предложенной в работе [18]:

$$\ln(a_e - a_t) = \ln a_e - k_1 t, \quad (3)$$

где a_t – текущая величина сорбционной емкости за время t , см³/г; a_e – сорбционная емкость при равновесии, см³/г; k_1 – константа скорости адсорбции, мин⁻¹.

Модель псевдвторого порядка реакции в линейной форме может быть представлена уравнением [18, 19, 21]:

$$\frac{1}{a_t} = \frac{1}{k_2 a_e^2} + \frac{1}{a_e} t = \frac{1}{h} + \frac{1}{a_e} t, \quad (4)$$

где k_2 – константа скорости (г/(см³мин)); a_e – сорбционная емкость при равновесии, $k_2 a_e^2 = h$ – начальная скорость адсорбции (см³/(г мин)) при $t \rightarrow 0$.

Физический смысл описания кинетической зависимости моделью псевдвторого порядка состоит в том [13, 19], что скорость процесса сорбции лимитируется реакцией между адсорбатом и поверхностным активным центром сорбента в соотношении 1 : 1.

Как следует из представленных данных (табл. 1) модель псевдопервого порядка не удовлетворительно описывает процесс сорбции газов на всех образцах нанокмполитов.

На рис. 4а–в приведены зависимости $t/a_t - t$ для адсорбции на нанокмполитах азота (а), кислорода (б) и аргона (в).

Как следует из табл. 1 и рис. 4а высокие коэффициенты корреляции при использовании модели псевдвторого порядка наблюдались для адсорбции азота на всех образцах нанокмполитов. Сопоставление значений $a_{e \text{ расч}}$ с $a_{e \text{ эксп}}$ также позволяет сделать вывод о преимуществе модели псевдвторого порядка для описания адсорбции азота.

Кинетические кривые адсорбции кислорода меняли свою конфигурацию в зависимости от содержания МУНТ (рис. 4б). Зависимость $t/a_t - t$ при адсорбции O₂ на образце Alg-Ca + 30 мас. % МУНТ стала линейной, значение R^2 достигло 0.986. Значения a_e , рассчитанные при использовании модели псевдвторого порядка, практически совпали с $a_{e \text{ эксп}}$. Тем не менее, на основании полученных результатов можно заключить, что модель псевдвторого порядка недостаточно удовлетворительно описывает адсорбцию кислорода на нанокмполитах.

Как видно из табл. 1 и рис. 3в и 4в, характер кинетических кривых адсорбции аргона в зависимости от содержания МУНТ практически не изменялся, линейных зависимостей в координатах моделей псевдопервого и псевдвторого порядков для аргона не получили, что говорит о неприменимости кинетических моделей к адсорбции аргона на нанокмполитах.

Как указывается в работах [21, 28], причиной отклонения от линейности зависимости $t/a_t - t$ при адсорбции O₂ может быть неоднородность активных центров поверхности адсорбента. От-

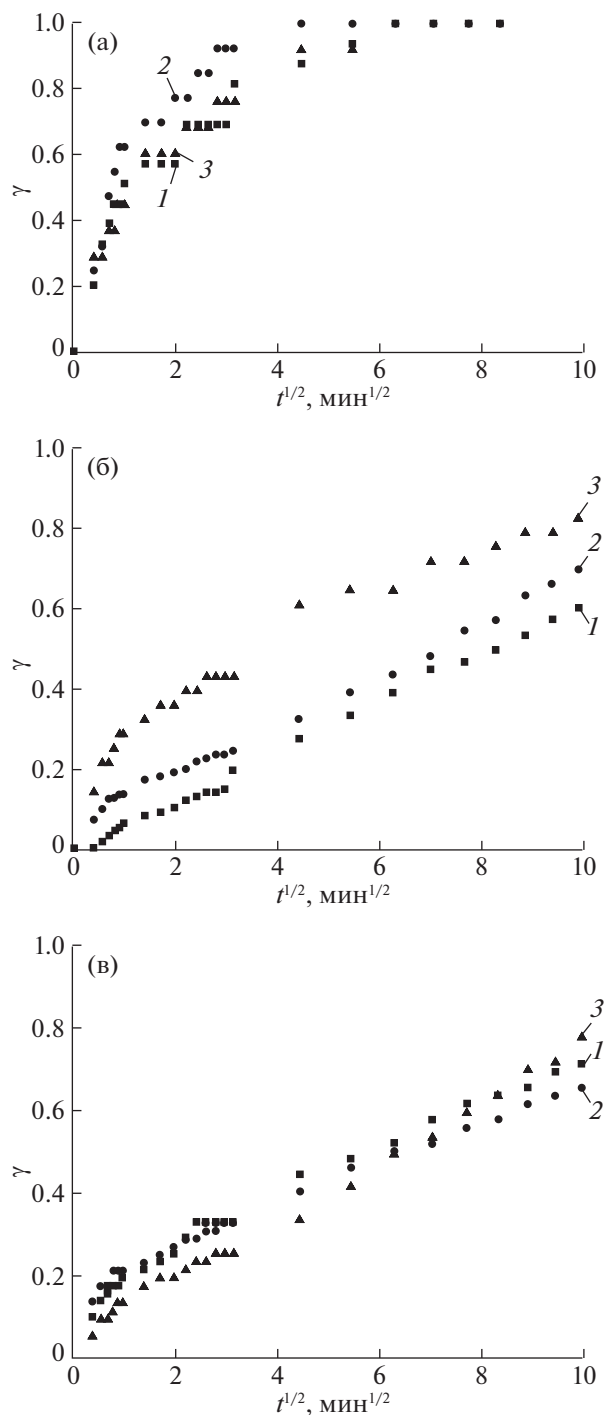


Рис. 3. Кинетические кривые адсорбции азота (а), кислорода (б) и аргона (в) на нанокмполитах при 25°C в координатах $\gamma = f(t^{1/2})$, где 1 – Alg-Ca + 0 мас. % МУНТ, 2 – Alg-Ca + 10 мас. % МУНТ, 3 – Alg-Ca + 30 мас. % МУНТ.

клонения от линейности в начальной области (вплоть до 8 мин от начала эксперимента) мы не рассматриваем, поскольку в этой области наибольшая погрешность измерений. Зависимость

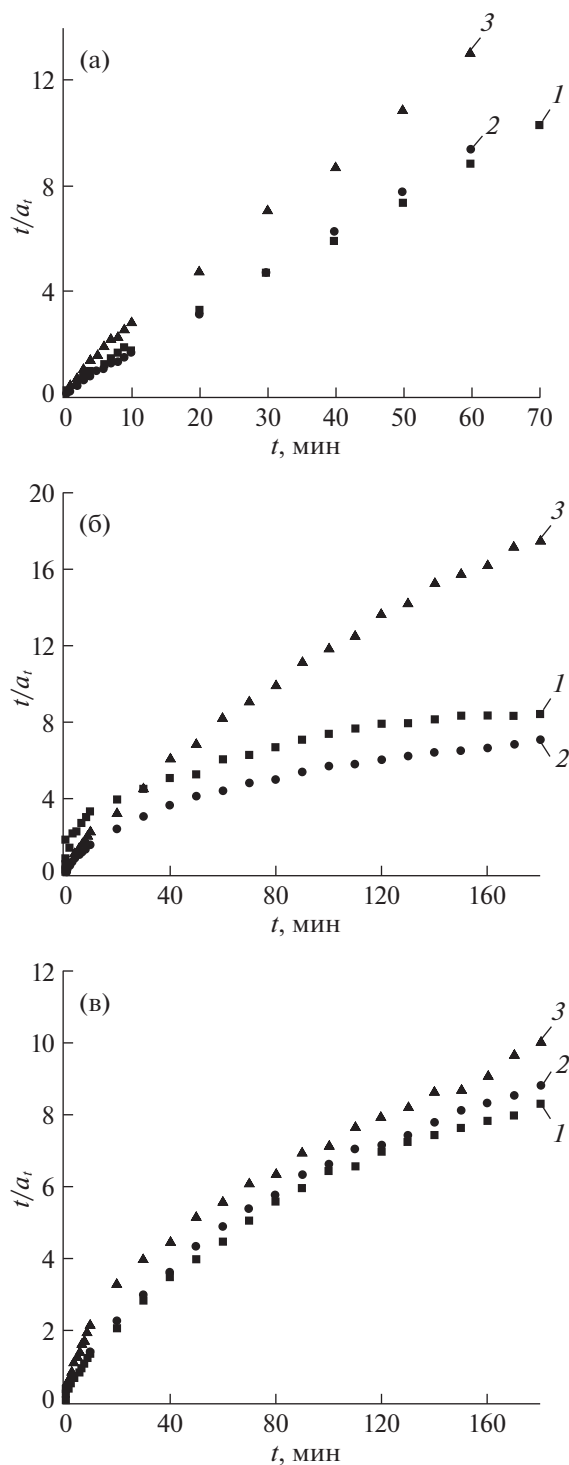


Рис. 4. Зависимости $t/a_t - t$ для азота (а), кислорода (б) и аргона (в) на нанокompозитах с различным содержанием МУНТ, где 1 – Alg-Ca + 0 мас. % МУНТ, 2 – Alg-Ca + 10 мас. % МУНТ, 3 – Alg-Ca + 30 мас. % МУНТ.

$t/a_t - t$ в случае адсорбции кислорода на Alg-Ca + 30 мас. % МУНТ практически линейна ($R^2 = 0.986$), что свидетельствует об адсорбции кис-

лорода на однородных ПАЦ, не экранированных путем внедрения МУНТ в альгинатную матрицу. Места для сорбции кислорода – это катионы кальция и протоны, но энергия взаимодействия с этими центрами у молекулы кислорода существенно меньше в силу его природы.

Подтверждением этой гипотезы служит работа [29], результаты которой свидетельствовали о том, что при адсорбции азота и кислорода на цеолитах (в изученном диапазоне температур и давлений) предельные величины адсорбции кислорода оказались существенно большими, чем у азота. В рамках модели локализованной адсорбции этот факт может быть объяснен большим количеством активных центров, на которых сорбируется кислород. Автор сделал заключение, что наряду с активными центрами, на которых сорбируются оба газа, существуют активные центры, недоступные для молекул азота.

Таким образом, в результате обработки кинетических данных показано, что механизм адсорбции макрокомпонентов воздуха на синтезированных нанокompозитах имеет сложный характер, при этом влияние оказывают как свойства исследуемых газов, так и содержание модификатора в нанокompозитах. Нанокompозиты на основе альгината кальция обладают развитой мезопористостью, чем обеспечивается высокая скорость массопереноса при сорбции на исследуемом материале. Адсорбция аргона на нанокompозитах лимитируется внутренней диффузией и с высоким уровнем достоверности описывается моделью квазигомогенного пористого тела. Значения эффективных коэффициентов диффузии достаточно высоки ($1.3 - 1.7 \times 10^{-7} \text{ см}^2/\text{с}$).

Адсорбция азота на нанокompозитах определяется взаимодействием с локальными активными центрами поверхности, которыми являются катионы Ca^{2+} . Механизм адсорбции с высокой степенью достоверности описывается моделью химической кинетики псевдоторгового порядка.

В скорость сорбции кислорода на нанокompозитах вносят вклад как внутридиффузионное лимитирование, так и скорость локализованной физической адсорбции. Причем с ростом содержания МУНТ в структуре нанокompозита роль взаимодействия молекул кислорода с ПАЦ возрастала, что подтверждено применением модели псевдоторгового порядка.

СПИСОК ЛИТЕРАТУРЫ

1. Курс физической химии, т. I / Под ред. Я.И. Герасимова. М.: Химия, 1969. 592 с.
2. Шумяцкий Ю.И. Промышленные адсорбционные процессы. М.: КолосС. 2009. 184 с.
3. Акулов А.К., Агабалян А.К., Устинов Е.А., Гребенников С.Ф. // ЖПХ. 1987. № 8. С. 1707.

4. Акулов А.К. // ЖПХ. 1988. № 7. С. 1525.
5. Акулов А.К. // Технические газы. 2007. № 6. С. 31.
6. Auerbach S.M., Carrado K.A., Dutta P.K. Handbook of Zeolite Science and Technology. CRS Press, 2003. 1204 p.
7. Киселев А.В. Межмолекулярные взаимодействия в адсорбции и хроматографии. М.: Высш. шк., 1986. 360 с.
8. Иванова Е.Н., Бурмистрова Н.Н., Алехина М.Б. и др. // ЖПХ. 2017. Т. 90. Вып. 10. 1385.
9. Неймарк И.Е. Синтетические минеральные адсорбенты и носители катализаторов. Киев: Наукова думка, 1982. 216 с.
10. Asadi S., Eris S., Azizian S. // ACS Omega. 2018. V. 3. Is. 11. P. 15140.
11. Lee K.Y., Mooney D.J. // Prog. Polym. Sci. 2012. V. 37. № 1. P. 106.
<https://doi.org/10.1016/j.progpolymsci.2011.06.003>
12. Rocher V., Bee A., Siaugue J.-M., Cabuil V. // J. Hazard. Mater. 2010. 178. P. 434.
<https://doi.org/10.1016/j.jhazmat.2010.01.100>
13. Крижановская О.О., Синяева Л.А., Карпов С.И. и др. // Сорбционные и хроматографические процессы. 2014. Т. 14. Вып. 5. С. 784.
14. Волощук А.М. В кн. “Физическая химия адсорбционных явлений”. М.: Издательская группа “Граница”. 211. С. 78.
15. Rudzinski W., Everett D.H. Adsorption of Gases on Heterogeneous Surfaces. Academic Press, 2012. p. 624.
16. Haerifar M., Azizian S. // J. of Physical Chemistry C. 2013. V. 117. Is. 16. P. 8310.
17. Douven S., Paez C.A., Gommès C.J. // J. of Colloid and Interface Science. 2015. V. 448. P. 437–450.
18. Ho Y.S., McKay G. // Process Biochemistry. 1999. 34. P. 451–465.
19. Ho Y.S. // J. Hazard. Mater. B136. 2006. V. 136, № 3. P. 681.
20. Chu K.H. // J. Hazard. Mater. 2002. V. 90. № 1. P. 77–95.
21. Azizian S. // J. of Colloid and Interface Science. 2006. V. 302. Is. 1. P. 76–81.
22. Меньшутина Н.В., Каталевич А.М., Смирнова И. // Сверхкритические флюиды: теория и практика. 2013. Т. 8. № 3. С. 49–55.
23. Иванов С.И., Цыганков П.Ю., Худеев И.И., Меньшутина Н.В. // Успехи в химии и химической технологии. 2015. Т. 29. № 4 (163). С. 83–85.
24. Ахназарова С.Л., Кафаров В.В. Методы оптимизации эксперимента в химической технологии. Москва: Высшая школа, 1985. 327 с.
25. Тимофеев Д.П. Кинетика адсорбции. М.: Издательство академии наук СССР, 1962. 252 с.
26. Ho Y.S., Ng J.C.Y., McKay G. // Separation and Purification Methods. 2000. V. 29. P. 189.
27. Zhang Y.J., Kang L., Liu L.C. Handbook of Alkali-Activated Cements, Mortars and Concretes. 2015. P. 729.
28. Свешникова Д.А., Хамизов Р.Х. // Изв. академии наук. Сер. хим. 2018. № 6. С. 991.
29. Акулов А.К. Моделирование разделения бинарных газовых смесей методом адсорбции с колеблющимся давлением: Автореферат дис. ... доктора техн. наук. Санкт-Петербург: Санкт-Петербургский гос. технологич. ин-т., 1996. 40 с.